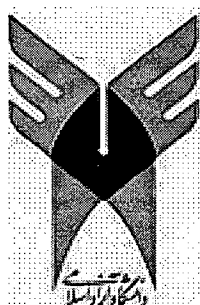


بِسْمِ اللَّهِ الرَّحْمَنِ الرَّحِيمِ



واحد شاهرود
دانشکده علوم پایه، گروه شیمی
پایان نامه برای دریافت درجه کارشناسی ارشد «M.Sc»
گرایش: شیمی فیزیک

عنوان:

بررسی نظری تعادل بین کنفورمرهای محوری و استوایی ۲- هالوسیکلوهگزیلیدین
فسفین در فاز گازی و محلول

استاد راهنما:

دکتر بهزاد چهکندی

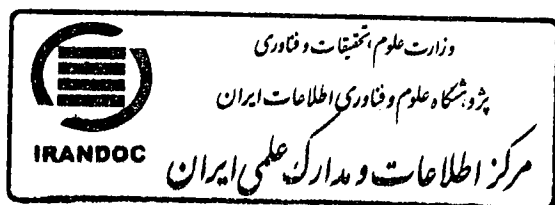
استاد مشاور:

دکتر صفا علی عسگری

نگارش:

وحید سهرابی

تابستان ۱۳۸۹



ب

۱۵۸۰۹۲

۳۹۰/۳/

A



دانشگاه آزاد اسلامی

واحد شاهرود

دانشکده علوم پایه ، گروه شیمی

پایان نامه برای دریافت درجه کارشناسی ارشد « M.Sc. »

گرایش : شیمی فیزیک

عنوان :

بررسی تعادل بین کنفورمرهای محوری و استوایی ۲- هالوسیکلوهگزیلیدین فسفین در فاز
گازی و حلال با استفاده از محاسبات مکانیک کوانتومی

نگارش :

وحید سهرابی

تابستان ۱۳۸۹

۱. دکتر بهزاد چهکندی

۲. دکتر صفا علی عسکری

۳. دکتر فرامرز طیاری

۴. دکتر احسان زاهدی

هیأت داوران :

تقدیر و تشکر

حمد و ستایش بی قیاس خدای را سزااست که از الطاف خود در انسان دمید و او را اشرف مخلوقات خود قرار داد.

بدینوسیله وظیفه خود می دانم از استاد راهنمای محترم جناب آقای دکتر بهزاد چهکندی که با راهنمایی و زحمات بی شائبه خود موجبات پیشرفت در این تحقیق را فراهم نمودند و همچنین از استاد مشاور محترم جناب آقای دکتر صفا علی عسگری که با صبر و حوصله ، مشاوره مورد نیاز را در اختیار اینجانب قرار دادند و همچنین کلیه عزیزانی که به انحاء و شیوه های مختلف موجبات کمک و دلگرمی مرا فراهم نمودند سپاسگزاری نمایم.

فهرست مطالب:

چکیده:	۱
فصل اول: ساختار سیکلو هگزان	
۱-۱- مقدمه:	۳
۲-۱- ساختار سیکلو هگزان	۴
۳-۱- صور تبندیهای سیکلو هگزان	۴
۴-۱- کنفورماسیون مشتقات سیکلو هگزان	۷
۵-۱- پیوندهای محوری و استوایی در سیکلو هگزان	۹
۶-۱- تحلیل صور تبندی سیکلو هگزانهای تک استخلافی	۱۰
۷-۱- وارونگی صور تبندی (وارونگی حلقه) در سیکلو هگزان	۱۱
۸-۱- آنتالپی، انرژی آزاد و ثابت تعادل	۱۲
۹-۱- انعطاف پذیری صور تبندی سیکلو هگزان	۱۴
۱۰-۱- برتری کنفورماسیونی استخلاف ها :	۱۷
۱۱-۱- کاربرد اختلاف انرژی آزاد کنفورماسیونی :	۲۰
۱۲-۱- استرئوایزومری ترکیبات حلقوی - آنالیز کنفورماسیونی	۲۱
۱۳-۱- خواص فیزیکی آلکانهای حلقوی	۲۶
۱۴-۱- پایداری آلکانهای حلقوی	۲۶
۱۵-۱- فعالیت یا واکنشپذیری آلکانها	۲۸
۱۶-۱- استریو ایزومری در سیکلو هگزان	۲۹
۱۷-۱- تفاوت بین حلقه سیکلو هگزان و سیکلو هگزانون	۳۰
۱۸-۱- سنتز سیکلو هگزانون	۳۱
۱۹-۱- ترکیبات فسفردار	۳۲
۱-۱۹-۱- گروههای عاملی حامل فسفر	۳۲
۲-۱۹-۱- انواع ترکیبات فسفردار	۳۲
۳-۱۹-۱- فسفین (PH ₃)	۳۲
۴-۱۹-۱- هالیدهای فسفر	۳۲

فصل دوم: مطالعات پیرامون مولکولهای مشابه با سیکلو هگزیلیدین فسفین

۳۵ ۱-۲-۱ مطالعات نظری و تجربی ۲-هالوسیکلو هگزیلیدین فسفین

فصل سوم: روشهای محاسباتی

۴۹ ۳-۱-۱ مقدمه

۵۰ ۳-۲-۱ روشهای مدل سازی کامپیوتری

۵۱ ۳-۲-۱-۱ مکانیک مولکولی

۵۳ ۳-۲-۲-۱ کاربردهای مکانیک مولکولی

۵۳ ۳-۲-۳-۱ مکانیک کوانتومی

۵۵ ۳-۲-۴-۱ کاربردهای مکانیک کوانتومی

۵۶ ۳-۲-۴-۱-۱ حل معادله شرودینگر الکترونی

۵۹ ۳-۲-۴-۲-۱ تقریب «بورن-آپنهاایمر»

۵۹ ۳-۲-۵-۱ روش نیمه تجربی

۵۹ ۳-۲-۵-۱-۱ روشهای اوربیتال ملکول نیمه تجربی پیشرفته: MNDO

۶۰ ۳-۲-۵-۲-۱ تقریبهای اولیه MNDO:

۶۱ ۳-۲-۵-۳-۱ روشهای نیمه تجربی مختلف

۶۲ ۳-۲-۵-۴-۱ MNDO نظریه پایه

۶۳ ۳-۲-۶-۱ روش آغازین

۶۳ ۳-۲-۶-۱-۱ معادله های هارتری فاک

۶۶ ۳-۲-۶-۲-۱ روش برهم کنش آرایش «CI»

۶۷ ۳-۲-۶-۲-۱-۱ روش SCF چندپیکربندی

۶۷ ۳-۲-۶-۲-۲-۱ روش اوربیتالهای طبیعی

۶۷ ۳-۲-۶-۳-۱ همبستگی الکترون

۶۸ ۳-۲-۶-۴-۱ نظریه اختلال

۶۹ ۳-۲-۶-۵-۱ روش تابع چگال (DFT):

۷۱ ۳-۲-۷-۱ مجموعه پایه

۷۲ ۳-۲-۷-۱-۱ اوربیتالهای اسلیتری (STO):

۷۳ ۲-۷-۲-۳- مجموعه های پایه گوسی (GTO)
۷۳ ۳-۷-۲-۳- اوربیتالهای گوسی منطبق (CGTO)
۷۴ ۴-۷-۲-۳- مجموعه های پایه ی مینیمال
۷۴ ۵-۷-۲-۳- مجموعه های پایه ی ظرفیتی مجزا
۷۵ ۶-۷-۲-۳- مجموعه های پایه ی قطبیده
۷۵ ۷-۷-۲-۳- توابع پخش شده
۷۶ ۸-۲-۳- محاسبات نیمه تجربی در مقابل محاسبات «آغازین»
۷۶ ۱-۸-۲-۳- محاسبات میدان خودسازگار PPP
۷۹ ۲-۸-۲-۳- انواع روشهای شیمی محاسباتی:
۸۰ ۹-۲-۳- گرمایشیمی در گوسین
۸۰ ۱-۹-۲-۳- انرژی الکترونی
۸۰ ۲-۹-۲-۳- انرژی ارتعاش
۸۰ ۳-۹-۲-۳- تصحیح انرژی کل
۸۱ ۴-۹-۲-۳- تصحیح گرمایی انرژی داخلی
۸۱ ۵-۹-۲-۳- انتالپی
۸۲ ۱۰-۲-۳- برنامه Gaussian 98
۸۳ ۱-۱۰-۲-۳- فایل ورودی Gaussian
۸۳ ۲-۱۰-۲-۳- انواع پیوندها
۸۵ ۳-۱۰-۲-۳- کار Opt
۸۵ ۴-۱۰-۲-۳- کار Freq
۸۶ ۵-۱۰-۲-۳- فایل خروجی Gaussian
۸۶ ۶-۱۰-۲-۳- آینده شیمی کوانتومی

فصل چهارم: نتایج محاسبات

۸۹ ۱-۴- مقدمه:
۹۲ ۲-۴- انواع حلالها
۹۲ ۳-۴- مدل‌های تئوری
۹۳ ۴-۴- گشتاور قطبی الکتریکی μ دو بار با علامتهای متفاوت

۹۳	۴-۵-قطبش پذیری (α)
۹۴	۴-۶-نتایج محاسبات در فاز گاز:
۹۴	۴-۷-انرژی و مقادیر ترمودینامیکی
۱۱۵	۴-۸-ژنومتری های بهینه شده
۱۲۵	۴-۹-نتایج محاسبات در فاز حلال
۱۲۵	۴-۹-۱-مقادیر ترمودینامیکی در فاز حلال
۲۵۰	۴-۱۰-بررسی مقادیر ΔE در حلالهای مختلف
۲۵۴	۴-۱۱-بررسی مقادیر ترمودینامیکی ۲-فلوئورو سیکلو هگزیلیدین فسفین در حلال های مختلف
۲۶۱	۴-۱۲-بررسی مقادیر ترمودینامیکی ۲-کلرو سیکلو هگزیلیدین فسفین در حلال های مختلف
۲۶۸	۴-۱۳-بررسی مقادیر ترمودینامیکی ۲-برموسیکلو هگزیلیدین فسفین در حلال های مختلف
۲۷۵	۴-۱۴-بررسی ممان دو قطبی ۲-هالو سیکلو هگزیلیدین فسفین در حلال های مختلف
۲۸۰	۴-۱۵-ژنومتری های بهینه شده در فاز محلول
۲۹۱	۴-۱۶-بحث و نتیجه گیری
۲۹۰	منابع و مأخذ

شکل(۱-۱). یک مدل گلوله وميله ویک مدل فضاپرکن از صورتبندی صندلی سیکلوهگزان

- شکل (۱-۸). پیوندهای استوایی ومحوری در سیکلوهگزان..... ۲۲
- شکل (۱-۲۲). کنفورمرهای متیل سیکلوهگزان و کنفورمرهای ترشیوبوتیل..... ۲۵
- شکل (۱-۲۶). استریوایزومری در مشتقات سیکلوهگزان در موقعیت ۲،۱.....
- جدول (۱-۴). استریوایزومری در مشتقات سیکلوهگزان..... ۲۹
- جدول(۱-۲). انرژیهای Gibbs از آن واکنش با L ، $w(CO)_5 + CO \rightarrow w(CO)_6 + L$ کنوردینهشده در سیکهای مختلف..... ۳۶
- شکل(۲-۱). سنتز کمپلکس π هگزاکربونیل تنگستن با سیکلوهگزانون..... ۳۷
- شکل(۲-۲). سنتز کمپلکس π هگزاکربونیل تنگستن با سیکلوهگزانون..... ۳۷
- شکل(۲-۳). سنتز کمپلکس π هگزاکربونیل تنگستن با سیکلوهگزیلیدین آنیلین..... ۳۸
- شکل (۲-۴). استفاده از کمپلکسهای π هگزاکربونیل تنگستن سیکلوهگزانون..... ۳۸
- شکل (۲-۷). کنفورمرهای مشتقات ۲-هالوسیکلوهگزانون(2a,2e)..... ۴۱
- شکل (۲-۸). کنفورمرهای ممکن برای (a) ۳-فلوئورو بوتان -۲-ان و (b) ۳،۳-دیفلوئورو بوتان -۲-ان..... ۴۳
- شکل (۲-۹). تعادل بین صورتبندی کنفورمرهای سیکلوهگزان(1a,1b)..... ۴۴
- شکل (۲-۱۰). تتراهیدرو-2H-تیوپیران-۱-اکسید(2a,2b)..... ۴۵
- شکل (۲-۱۱). ۱و۲-دی تیان-۱-اکسید(3a,3b)..... ۴۵
- شکل (۲-۱۲). تتراهیدرو-2H-تیوپیران-۱-اکسید(4a,4b)..... ۴۵
- جدول (۳-۳). انواع کارهای قابل دسترس در Gaussian..... ۸۶

فهرست اشکال

- شکل (۱-۱). یک مدل گلوله و میله و یک مدل فضاپرکن از صورتبندی صندلی سیکلوهگزان..... ۵
- شکل (۲-۱). صورتبندی صندلی سیکلوهگزان که عاری از کشش است. کلبه زوایای پیوند C-C-C نزدیک به 109° و کلبه پیوندهای C-H همانطور که در طرح نیومن (ج) دیده می شود، نهوشیده هستند..... ۵
- شکل (۳-۱). مدل توپ و میله و مدل فضاپرکن صورتبندی قایق سیکلوهگزان. فشار پیچشی حاصل از پیوندهای پوشیده و فشار واندروالسی هیدروژن های پرچی باعث ناپایداری صورتبندی قایق نسبت به صورتبندی صندلی می شوند..... ۶
- شکل (۴-۱). الف- قایق وب- قایق پیچ خورده در صورتبندی های سیکلوهگزان. مقدار فشار پیچشی در قایقی در اثر چرخش پیوندهای C-C و تبدیل به قایق پیچیده، کاهش می یابد. فشار پیچشی در قایق توسط چرخش حول پیوند C-C، برای ایجاد قایق پیچیده، کاهش می یابد. همچنین، این حرکت موجب می شود که هیدروژن های پرچی از یکدیگر دور شوند که موجب کاهش فشار واندروالسی بین آنها می شود. ۶..
- شکل (۵-۱). خصوصیتی از ساختار کنفورماسیون صندلی..... ۸
- شکل (۶-۱). پوشیدگی در کنفورماسیون های صندلی، قایق، پیچ خورده..... ۸
- شکل (۷-۱). اتمهای هیدروژن محوری و استوایی در سیکلوهگزان. شش پیوند محوری C-H نسبت به محور حلقه موازی اند و شش پیوند استوایی C-H در دایره استوایی حلقه قرار دارند. ۹
- شکل (۸-۱). پیوندهای استوایی و محوری در سیکلوهگزان ۱۰
- شکل (۹-۱). تحلیل صورتبندی سیکلوهگزان های تک استخلافی..... ۱۱
- شکل (۱۰-۱). دیاگرام انرژی نشان دهنده تبدیل متقابل صورتبندی های گوناگون سیکلوهگزان ۱۲
- شکل (۱۱-۱). توزیع دو محصول در حال تعادل در دمای $25^\circ C$ به صورت تابعی از تفاوت انرژی آزاد استاندارد (ΔG°) بین آنها. ۱۳
- شکل (۱۲-۱). با وارونگی حلقه در صورتبندی صندلی سیکلوهگزان، موقعیتهای محوری و استوایی تعویض می شوند. ۱۴
- شکل (۱۳-۱). با وارونگی حلقه در صورتبندی صندلی متیل سیکلوهگزان، موقعیتهای محوری و استوایی تعویض می شوند. ۱۵
- شکل (۱۴-۱). کنفورمهای فلوئوروسیکلوهگزان..... ۱۶
- شکل (۱۵-۱). کنفورمهای ایزوپروپیل سیکلوهگزان..... ۱۶
- شکل (۱۶-۱). کنفورمهای ترشیوبوتیل سیکلوهگزان..... ۱۷
- شکل (۱۷-۱). کنفورمهای سیکلوهگزان که گروه R در موقعیت محوری و استوایی قرار گرفته است. ۱۸
- شکل (۱۸-۱). کنفورمهای ۴-متیل سیکلوهگزانول..... ۲۰
- شکل (۱۹-۱). روشهای طیف سنجی، معکوس شدن، کنفورماسیون سیکلوهگزان..... ۲۲
- شکل (۲۰-۱). وارونگی کنفورمهای کلروسیکلوهگزان..... ۲۳
- شکل (۲۱-۱). اثر متقابل اسکوبوتان بر سیکلوهگزان استخلافی..... ۲۴
- شکل (۲۲-۱). کنفورمهای متیل سیکلوهگزان و کنفورمهای ترشیوبوتیل..... ۲۵

- شکل (۱- ۲۳). انحراف زاویه α در سیکلوآلکانها..... ۲۷
- شکل (۱- ۲۴). تعادل بین صورتبندی قایق و صندلی..... ۲۸
- شکل (۱- ۲۵). استریوایزومری در مشتقات سیکلوهگزان در موقعیت ۲،۱..... ۲۹
- شکل (۱- ۲۶). استریوایزومری در مشتقات سیکلوهگزان در موقعیت ۲،۱..... ۳۰
- شکل (۱- ۲۷). سنتز سیکلوهگزانون..... ۳۱
- شکل (۲- ۱). سنتز کمپلکس π هگزاکربونیل تنگستن با سیکلوهگزانون..... ۳۷
- شکل (۲- ۲). سنتز کمپلکس π هگزاکربونیل تنگستن با سیکلوهگزاتیون..... ۳۷
- شکل (۲- ۳). سنتز کمپلکس π هگزاکربونیل تنگستن با سیکلوهگزیلیدین آنیلین..... ۳۸
- شکل (۲- ۴). استفاده از کمپلکسهای π هگزاکربونیل تنگستن سیکلوهگزانون..... ۳۸
- شکل (۲- ۵). تعادل بین کنفورمرهای ۲-هالوسیکلوهگزانون ($X=F, Cl, Br, I$)..... ۴۰
- شکل (۲- ۶). تعادل بین کنفورمرهای ۲-هالوسیکلوهگزانون ($1a, 1e$)..... ۴۱
- شکل (۲- ۷). کنفورمرهای مشتقات ۲-هالوسیکلوهگزانون ($2a, 2e$)..... ۴۱
- شکل (۲- ۸). کنفورمرهای ممکن برای (a) ۳-فلوئورو بوتان - ۲ و (b) ۳،۲-دی-فلوئورو بوتان - ۲..... ۴۳
- شکل (۲- ۹). تعادل بین صورتبندی کنفورمرهای سیکلوهگزان ($1a, 1b$)..... ۴۴
- شکل (۲- ۱۰). تتراهیدرو-2H-تیوپیران-۱-اکسید ($2a, 2b$)..... ۴۵
- شکل (۲- ۱۱). ۱-دی تیان-۱-اکسید ($3a, 3b$)..... ۴۵
- شکل (۲- ۱۲). تتراهیدرو-2H-تیوپیران-۱-اکسید ($4a, 4b$)..... ۴۵
- شکل (۴- ۱). تعادل کنفورمرهای استوایی و محوری ۲-هالوسیکلوهگزیلیدین فسفین در فاز گاز در حالت Close..... ۹۰
- شکل (۴- ۲). تعادل کنفورمرهای استوایی و محوری ۲-هالوسیکلوهگزیلیدین فسفین در فاز گاز در حالت Open..... ۹۱
- شکل (۴- ۳). تعادل تبدیل کنفورمرهای ۲-هالوسیکلوهگزیلیدین فسفین محوری به استوایی ($X=F, Cl, Br$)..... ۹۵
- شکل (۴- ۴). تعادل بین ساختارهای بهینه کنفورمرهای محوری و استوایی ۲-هالو سیکلو هگزیلیدین فسفین هالوزن های الف- F ب- Cl ج- Br در فاز گاز در حالت close در سطح $MP2/6-31G^*$ ۱۶۹
- شکل (۴- ۵). تعادل بین ساختارهای بهینه کنفورمرهای محوری و استوایی ۲-هالو سیکلو هگزیلیدین فسفین هالوزن های الف- F ب- Cl ج- Br در فاز گاز در حالت open در سطح $MP2/6-31G^*$ ۱۲۴
- شکل (۴- ۶). ساختارهای بهینه شده ی کنفورمرهای محوری و استوایی ۲-هالو سیکلو هگزیلیدین فسفین هالوزن های الف- F ب- Cl ج- Br در حلال سیکلوهگزان در سطح HF و سری پایه ی $6-31G^*$ ۱۳۵
- شکل (۴- ۷). ساختارهای بهینه شده ی کنفورمرهای محوری و استوایی ۲-هالو سیکلو هگزیلیدین فسفین هالوزن های الف- F ب- Cl ج- Br در حلال اتانول در سطح HF و سری پایه ی $6-31G^*$ ۱۶۹
- شکل (۴- ۸). تعادل بین کنفورمرهای ۲-هالو سیکلو هگزیلیدین فسفین در هالوزنهای ($X=F, Cl, Br$)..... ۲۵۰

شکل (۴-۹). تعادل بین کنفورمرهای ۲- فلونوروسیکلو هگزیلیدین فسفین در حلالهای مختلف..... ۲۵۴

شکل (۴-۱۰). تعادل بین کنفورمرهای ۲- کلروسیکلو هگزیلیدین فسفین در حلالهای مختلف..... ۲۶۱

شکل (۴-۱۱). تعادل بین کنفورمرهای ۲- برموسیکلو هگزیلیدین فسفین در حلالهای مختلف..... ۲۶۸

فهرست جداول

- جدول (۱-۱). مقادیر ΔG_{298}^0 و K برای استخلافهای مختلف در موقعیت محوری و استوایی..... ۱۳
- جدول (۲-۱). اختلاف انرژی آزاد سیکلوهگزانهای یک استخلافی..... ۱۹
- جدول (۳-۱). برخی از خواص فیزیکی برخی آلکانهای حلقوی نخستین..... ۲۶
- جدول (۴-۱). استریوایزومری در مشتقات سیکلوهگزان..... ۲۹
- جدول (۱-۲). انرژیهای Gibbs از آن واکنش با L ، $w(CO)_6 + L \rightarrow w(CO)_5 + CO$ ، کئوردینه شده در سبکهای مختلف..... ۳۶
- جدول (۱-۳). تعریف انواع روشهای شیمی محاسباتی..... ۷۹
- جدول (۲-۳). انواع پیوندها در Gaussian..... ۸۴
- جدول (۳-۳). انواع کارهای قابل دسترس در Gaussian..... ۸۶
- جدول (۱-۴). مقادیر ترمودینامیکی کنفورمهای استوایی و محوری ۲- هالوسیکلوهگزیلیدین فسفین برای هالوژن های (F,Cl,Br) در فاز گاز در حالت close در سطح HF/6-31G*..... ۹۶
- جدول (۲-۴). مقادیر ترمودینامیکی کنفورمهای استوایی و محوری ۲- هالوسیکلوهگزیلیدین فسفین برای هالوژن های (F,Cl,Br) در فاز گاز در حالت Close در سطح B3LYP/6-31G*..... ۹۷
- جدول (۳-۴). مقادیر ترمودینامیکی کنفورمهای استوایی و محوری ۲- هالوسیکلوهگزیلیدین فسفین برای هالوژن های (F,Cl,Br) در فاز گاز در حالت Close در سطح MP2/6-31G*..... ۹۸
- جدول (۴-۴). مقادیر ترمودینامیکی کنفورمهای استوایی و محوری ۲- هالوسیکلوهگزیلیدین فسفین برای هالوژن های (F,Cl,Br) در فاز گاز در حالت Open در سطح HF/6-31G*..... ۹۹
- جدول (۵-۴). مقادیر ترمودینامیکی کنفورمهای استوایی و محوری ۲- هالوسیکلوهگزیلیدین فسفین برای هالوژن های (F,Cl,Br) در فاز گاز در حالت Open در سطح B3LYP /6-31G*..... ۱۰۰
- جدول (۶-۴). مقادیر ترمودینامیکی کنفورمهای استوایی و محوری ۲- هالوسیکلوهگزیلیدین فسفین برای هالوژن های (F,Cl,Br) در فاز گاز در حالت Open در سطح MP2/6-31G*..... ۱۰۱
- جدول (۷-۴). مقادیر تغییرات توابع ترمودینامیکی تعادل استوایی و محوری ۲- هالوسیکلوهگزیلیدین فسفین برای هالوژن های (F,Cl,Br) در فاز گاز در حالت Close در سطوح HF و B3LYP و MP2 و سری پایه‌ی 6-31G*..... ۱۰۲
- جدول (۸-۴). مقادیر تغییرات توابع ترمودینامیکی تعادل استوایی و محوری ۲- هالوسیکلوهگزیلیدین فسفین برای هالوژن های (F,Cl,Br) در فاز گاز در حالت Open در سطوح HF و B3LYP و MP2 و سری پایه‌ی 6-31G*..... ۱۰۳
- جدول (۹-۴). درصد کنفورمهای محوری و استوایی ۲- هالوسیکلوهگزیلیدین فسفین در فاز گازی در حالت HF در سطح Close..... ۱۰۵
- جدول (۱۰-۴). درصد کنفورمهای محوری و استوایی ۲- هالوسیکلوهگزیلیدین فسفین در فاز گازی در حالت HF در سطح Open..... ۱۰۵
- جدول (۱۱-۴). درصد کنفورمهای محوری و استوایی ۲- هالوسیکلوهگزیلیدین فسفین در فاز گازی در حالت close در سطح B3LYP..... ۱۰۷

- جدول (۴-۱۲). درصد کنفورمرهای محوری و استوایی ۲- هالوسیکلوهگزیلیدین فسفین در فاز گازی در حالت Open در سطح B3LYP.....۱۰۷
- جدول (۴-۱۳). درصد کنفورمرهای محوری و استوایی ۲- هالوسیکلوهگزیلیدین فسفین در فاز گازی در حالت close در سطح MP2.....۱۰۹
- جدول (۴-۱۴). درصد کنفورمرهای محوری و استوایی ۲- هالوسیکلوهگزیلیدین فسفین در فاز گازی در حالت Open در سطح MP2.....۱۰۹
- جدول (۴-۱۵). فواصل پیوندی (بر حسب آنگستروم) و زوایای پیوندی (بر حسب درجه) کنفورمرهای استوایی و محوری ۲- هالوسیکلوهگزیلیدین فسفین در فاز گاز در حالت Close $MP_2 / 6 - 31G^*$۱۲۱
- جدول (۴-۱۶). فواصل پیوندی (بر حسب آنگستروم) و زوایای پیوندی (بر حسب درجه) کنفورمرهای استوایی و محوری ۲- هالوسیکلوهگزیلیدین فسفین در فاز گاز در حالت open در سطح $MP_2 / 6 - 31G^*$۱۲۲
- جدول (۴-۱۷). مقادیر ترمودینامیکی انرژی های نقطه صفر (E_0) کنفورمرهای استوایی و محوری ۲- هالوسیکلوهگزیلیدین فسفین برای هالوزن های (F,Cl,Br) در حلال های مختلف بر حسب (Hartree/Particle) در سطح $HF/6-31G^*$۱۲۶
- جدول (۴-۱۸). مقادیر ترمودینامیکی ($E_0 + E_{ZPC}$) کنفورمرهای استوایی و محوری ۲- هالوسیکلوهگزیلیدین فسفین برای هالوزن های (F,Cl,Br) در حلال های مختلف بر حسب (Hartree/Particle) در سطح $HF/6-31G^*$۱۲۷
- جدول (۴-۱۹). مقادیر ترمودینامیکی ($E_0 + E_{tot}$) کنفورمرهای استوایی و محوری ۲- هالوسیکلوهگزیلیدین فسفین برای هالوزن های (F,Cl,Br) در حلال های مختلف بر حسب (Hartree/Particle) در سطح $HF/6-31G^*$۱۲۸
- جدول (۴-۲۰). مقادیر ترمودینامیکی ($E_0 + H_{corr}$) کنفورمرهای استوایی و محوری ۲- هالوسیکلوهگزیلیدین فسفین برای هالوزن های (F,Cl,Br) در حلال های مختلف بر حسب (Hartree/Particle) در سطح $HF/6-31G^*$۱۲۹
- جدول (۴-۲۱). مقادیر ترمودینامیکی ($E_0 + G_{corr}$) کنفورمرهای استوایی و محوری ۲- هالوسیکلوهگزیلیدین فسفین برای هالوزن های (F,Cl,Br) در حلال های مختلف بر حسب (Hartree/Particle) در سطح $HF/6-31G^*$۱۳۰
- جدول (۴-۲۲). مقادیر ترمودینامیکی (S_{total}) کنفورمرهای استوایی و محوری ۲- هالوسیکلوهگزیلیدین فسفین برای هالوزن های (F,Cl,Br) در حلال های مختلف بر حسب کالری بر مول بر کلین در سطح $HF/6-31G^*$۱۳۱
- جدول (۴-۲۳). مقادیر ترمودینامیکی ممان دو قطبی کنفورمرهای استوایی و محوری ۲- هالوسیکلوهگزیلیدین فسفین برای هالوزن های (F,Cl,Br) در حلال های مختلف بر حسب دمای در سطح $HF/6-31G^*$۱۳۲
- جدول (۴-۲۴). تغییرات توابع ترمودینامیکی تعادل محوری و استوایی ۲- هالوسیکلوهگزیلیدین فسفین در حلال سیکلو هگزان در سطح $HF/6-31G^*$۱۳۴
- جدول (۴-۲۵). تغییرات توابع ترمودینامیکی تعادل محوری و استوایی ۲- هالوسیکلوهگزیلیدین فسفین در حلال تترا کلرید کربن در سطح $HF/6-31G^*$۱۴۲
- جدول (۴-۲۶). تغییرات توابع ترمودینامیکی تعادل محوری و استوایی ۲- هالوسیکلوهگزیلیدین فسفین در حلال کلروفرم در سطح $HF/6-31G^*$۱۴۹
- جدول (۴-۲۷). تغییرات توابع ترمودینامیکی تعادل محوری و استوایی ۲- هالوسیکلوهگزیلیدین فسفین در حلال تترا هیدرو فوران در سطح $HF/6-31G^*$۱۵۶

- جدول (۴-۲۸). تغییرات توابع ترمودینامیکی تعادل محوری و استوایی ۲- هالوسیکلوهگزیلیدین فسفین در حلال استون در سطح HF/6-31G* ۱۶۳
- جدول (۴-۲۹). تغییرات توابع ترمودینامیکی تعادل محوری و استوایی ۲- هالوسیکلوهگزیلیدین فسفین در حلال اتانول در سطح HF/6-31G* ۱۷۱
- جدول (۴-۳۰). تغییرات توابع ترمودینامیکی تعادل محوری و استوایی ۲- هالوسیکلوهگزیلیدین فسفین در حلال متانول در سطح HF/6-31G* ۱۷۸
- جدول (۴-۳۱). تغییرات توابع ترمودینامیکی تعادل محوری و استوایی ۲- هالوسیکلوهگزیلیدین فسفین در حلال دی متیل سولفوکسید در سطح HF/6-31G* ۱۸۵
- جدول (۴-۳۲). تغییرات توابع ترمودینامیکی تعادل محوری و استوایی ۲- هالوسیکلوهگزیلیدین فسفین در حلال آب در سطح HF/6-31G* ۱۹۲
- جدول (۴-۳۳). مقادیر ترمودینامیکی انرژی های نقطه صفر (E_0) کنفورمهای استوایی و محوری ۲- هالوسیکلوهگزیلیدین فسفین برای هالوژن های (F, Cl, Br) در حلال های مختلف بر حسب (Hartree/Particle) در سطح B3LYP/6-31G* ۱۹۹
- جدول (۴-۳۴). مقادیر ترمودینامیکی ($E_0 + E_{ZPC}$) کنفورمهای استوایی و محوری ۲- هالوسیکلوهگزیلیدین فسفین برای هالوژن های (F, Cl, Br) در حلال های مختلف بر حسب (Hartree/Particle) در سطح B3LYP/6-31G* ۲۰۰
- جدول (۴-۳۵). مقادیر ترمودینامیکی ($E_0 + E_{tot}$) کنفورمهای استوایی و محوری ۲- هالوسیکلوهگزیلیدین فسفین برای هالوژن های (F, Cl, Br) در حلال های مختلف بر حسب (Hartree/Particle) در سطح B3LYP/6-31G* ۲۰۱
- جدول (۴-۳۶). مقادیر ترمودینامیکی ($E_0 + H_{corr}$) کنفورمهای استوایی و محوری ۲- هالوسیکلوهگزیلیدین فسفین برای هالوژن های (F, Cl, Br) در حلال های مختلف بر حسب (Hartree/Particle) در سطح B3LYP/6-31G* ۲۰۲
- جدول (۴-۳۷). مقادیر ترمودینامیکی ($E_0 + G_{corr}$) کنفورمهای استوایی و محوری ۲- هالوسیکلوهگزیلیدین فسفین برای هالوژن های (F, Cl, Br) در حلال های مختلف بر حسب (Hartree/Particle) در سطح B3LYP/6-31G* ۲۰۳
- جدول (۴-۳۸). مقادیر ترمودینامیکی (S_{total}) کنفورمهای استوایی و محوری ۲- هالوسیکلوهگزیلیدین فسفین برای هالوژن های (F, Cl, Br) در حلال های مختلف بر حسب کالری برمول بر کلون در سطح B3LYP/6-31G* ۲۰۴
- جدول (۴-۳۹). مقادیر ترمودینامیکی ممان دو قطبی کنفورمهای استوایی و محوری ۲- هالوسیکلوهگزیلیدین فسفین برای هالوژن های (F, Cl, Br) در حلال های مختلف بر حسب دبای در سطح B3LYP/6-31G* ۲۰۵
- جدول (۴-۴۰). تغییرات توابع ترمودینامیکی تعادل محوری و استوایی ۲- هالوسیکلوهگزیلیدین فسفین در حلال سیکلو هگزان در سطح B3LYP/6-31G* ۲۰۶
- جدول (۴-۴۱). تغییرات توابع ترمودینامیکی تعادل محوری و استوایی ۲- هالوسیکلوهگزیلیدین فسفین در حلال تترا کلرید کربن در سطح B3LYP/6-31G* ۲۰۸

- جدول (۴-۴۲). تغییرات توابع ترمودینامیکی تعادل محوری و استوایی ۲- هالوسیکلوهگزیلیدین فسفین در حلال کلروفرم در سطح
 ۲۱۰.....B3LYP/6-31G*
- جدول (۴-۴۳). تغییرات توابع ترمودینامیکی تعادل محوری و استوایی ۲- هالوسیکلوهگزیلیدین فسفین در حلال تترا هیدرو فوران در سطح
 ۲۱۲.....B3LYP/6-31G*
- جدول (۴-۴۴). تغییرات توابع ترمودینامیکی تعادل محوری و استوایی ۲- هالوسیکلوهگزیلیدین فسفین در حلال استون در سطح
 ۲۱۴.....B3LYP/6-31G*
- جدول (۴-۴۵). تغییرات توابع ترمودینامیکی تعادل محوری و استوایی ۲- هالوسیکلوهگزیلیدین فسفین در حلال اتانول در سطح
 ۲۱۶.....B3LYP/6-31G*
- جدول (۴-۴۶). تغییرات توابع ترمودینامیکی تعادل محوری و استوایی ۲- هالوسیکلوهگزیلیدین فسفین در حلال متانول در سطح
 ۲۱۸.....B3LYP/6-31G*
- جدول (۴-۴۷). تغییرات توابع ترمودینامیکی تعادل محوری و استوایی ۲- هالوسیکلوهگزیلیدین فسفین در حلال دی متیل سولفوکسید در سطح
 ۲۲۰.....B3LYP/6-31G*
- جدول (۴-۴۸). تغییرات توابع ترمودینامیکی تعادل محوری و استوایی ۲- هالوسیکلوهگزیلیدین فسفین در حلال آب در سطح
 ۲۲۲.....B3LYP/6-31G*
- جدول (۴-۴۹). مقادیر ترمودینامیکی انرژی های نقطه صفر (E_0) کنفورمرهای استوایی و محوری ۲- هالوسیکلوهگزیلیدین فسفین برای هالوزن
 های (F,Cl,Br) در حلال های مختلف بر حسب (Hartree/Particle) در سطح MP2/6-31G* ۲۲۵.....
- جدول (۴-۵۰). مقادیر ترمودینامیکی ($E_0 + E_{ZPC}$) کنفورمرهای استوایی و محوری ۲- هالوسیکلوهگزیلیدین فسفین برای هالوزن های
 (F,Cl,Br) در حلال های مختلف بر حسب (Hartree/Particle) در سطح MP2/6-31G* ۲۲۶.....
- جدول (۴-۵۱). مقادیر ترمودینامیکی ($E_0 + E_{tot}$) کنفورمرهای استوایی و محوری ۲- هالوسیکلوهگزیلیدین فسفین برای هالوزن های
 (F,Cl,Br) در حلال های مختلف بر حسب (Hartree/Particle) در سطح MP2/6-31G* ۲۲۷.....
- جدول (۴-۵۲). مقادیر ترمودینامیکی ($E_0 + H_{corr}$) کنفورمرهای استوایی و محوری ۲- هالوسیکلوهگزیلیدین فسفین برای هالوزن های
 (F,Cl,Br) در حلال های مختلف بر حسب (Hartree/Particle) در سطح MP2/6-31G* ۲۲۸.....
- جدول (۴-۵۳). مقادیر ترمودینامیکی ($E_0 + G_{corr}$) کنفورمرهای استوایی و محوری ۲- هالوسیکلوهگزیلیدین فسفین برای هالوزن های
 (F,Cl,Br) در حلال های مختلف بر حسب (Hartree/Particle) در سطح MP2/6-31G* ۲۲۹.....
- جدول (۴-۵۴). مقادیر ترمودینامیکی (S_{total}) کنفورمرهای استوایی و محوری ۲- هالوسیکلوهگزیلیدین فسفین برای هالوزن های
 (F,Cl,Br) در حلال های مختلف بر حسب کالری برمول بر کلون در سطح MP2/6-31G* ۲۳۰.....
- جدول (۴-۵۵). مقادیر ترمودینامیکی ممان دو قطبی کنفورمرهای استوایی و محوری ۲- هالوسیکلوهگزیلیدین فسفین برای هالوزن های
 (F,Cl,Br) در حلال های مختلف بر حسب دبای در سطح..... ۲۳۱.....

جدول (۴-۵۶). تغییرات توابع ترمودینامیکی تعادل محوری و استوایی ۲- هالوسیکلوهگزیلیدین فسفین در حلال سیکلو هگزان در سطح	۲۳۲
.....MP2/6-31G*	
جدول(۴-۵۷). تغییرات توابع ترمودینامیکی تعادل محوری و استوایی ۲- هالوسیکلوهگزیلیدین فسفین در حلال تترا کلرید کربن در سطح	۲۳۷
.....MP2/6-31G*	
جدول (۴-۵۸). تغییرات توابع ترمودینامیکی تعادل محوری و استوایی ۲- هالوسیکلوهگزیلیدین فسفین در حلال کلروفرم در سطح	۲۳۶
.....MP2/6-31G*	
جدول (۴-۵۹). تغییرات توابع ترمودینامیکی تعادل محوری و استوایی ۲- هالوسیکلوهگزیلیدین فسفین در حلال تترا هیدرو فوران در سطح	۲۳۸
.....MP2/6-31G*	
جدول (۴-۶۰). تغییرات توابع ترمودینامیکی تعادل محوری و استوایی ۲- هالوسیکلوهگزیلیدین فسفین در حلال استون در سطح	۲۴۰
.....MP2/6-31G*	
جدول (۴-۶۱). تغییرات توابع ترمودینامیکی تعادل محوری و استوایی ۲- هالوسیکلوهگزیلیدین فسفین در حلال اتانول در سطح	۲۴۲
.....MP2/6-31G*	
جدول(۴-۶۲). تغییرات توابع ترمودینامیکی تعادل محوری و استوایی ۲- هالوسیکلوهگزیلیدین فسفین در حلال متانول در سطح	۲۴۴
.....MP2/6-31G*	
جدول(۴-۶۳). تغییرات توابع ترمودینامیکی تعادل محوری و استوایی ۲- هالوسیکلوهگزیلیدین فسفین در حلال دی متیل سولفوکسید در سطح	۲۴۶
.....MP2/6-31G*	
جدول(۴-۶۴). تغییرات توابع ترمودینامیکی تعادل محوری و استوایی ۲- هالوسیکلوهگزیلیدین فسفین در حلال آب در سطح	۲۴۸
.....MP2/6-31G*	
جدول(۴-۶۵). تغییرات ΔE بر حسب (کیلو کالری بر مول) برای تعادل استوایی به محوری کنفورمهای ۲- هالوسیکلوهگزیلیدین فسفین برای هالوزن های (F,Cl,Br) در حلالهای مختلف در سطوح HF و B3LYP و MP2 و سری پایه ی 6-31G*.....	۲۵۱
.....MP2/6-31G*	
جدول (۴-۶۶). تغییرات ترمودینامیکی تعادل محوری به استوایی کنفورمهای ۲- فلئوروسیکلو هگزیلیدین فسفین در حلال های مختلف در سطح HF/6-31G*.....	۲۵۵
.....HF/6-31G*	
جدول (۴-۶۷). تغییرات ترمودینامیکی تعادل محوری به استوایی کنفورمهای ۲- فلئوروسیکلو هگزیلیدین فسفین در حلال های مختلف در سطح B3LYP/6-31G*.....	۲۵۶
.....B3LYP/6-31G*	
جدول(۴-۶۸). تغییرات ترمودینامیکی تعادل محوری به استوایی کنفورمهای ۲- فلئوروسیکلو هگزیلیدین فسفین در حلال های مختلف در سطح MP2/6-31G*.....	۲۵۷
.....MP2/6-31G*	
جدول(۴-۶۹). تغییرات ترمودینامیکی تعادل محوری به استوایی کنفورمهای ۲- کلروسیکلو هگزیلیدین فسفین در حلال های مختلف در سطح HF/6-31G*.....	۲۶۲
.....HF/6-31G*	

- جدول (۴-۷۰). تغییرات ترمودینامیکی تعادل محوری به استوایی کنفورم‌های ۲- کلروسیکلو هگزیلیدین فسفین در حلال‌های مختلف در سطح
 ۲۶۳.....B3LYP/6-31G*
- جدول (۴-۷۱). تغییرات ترمودینامیکی تعادل محوری به استوایی کنفورم‌های ۲- کلروسیکلو هگزیلیدین فسفین در حلال‌های مختلف در سطح
 ۲۶۴.....MP2/6-31G*
- جدول (۴-۷۲). تغییرات ترمودینامیکی تعادل محوری به استوایی کنفورم‌های ۲- برموسیکلو هگزیلیدین فسفین در حلال‌های مختلف در سطح
 ۲۶۹.....HF/6-31G*
- جدول (۴-۷۳). تغییرات ترمودینامیکی تعادل محوری به استوایی کنفورم‌های ۲- برموسیکلو هگزیلیدین فسفین در حلال‌های مختلف در سطح
 ۲۷۰.....B3LYP/6-31G*
- جدول (۴-۷۴). تغییرات ترمودینامیکی تعادل محوری به استوایی کنفورم‌های ۲- برموسیکلو هگزیلیدین فسفین در حلال‌های مختلف در
 سطح ۲۷۱.....MP2/6-31G*
- جدول (۴-۷۵). فواصل پیوندی (بر حسب آنگستروم) و زوایای پیوندی (بر حسب درجه) کنفورم‌های استوایی و محوری ۲-
 هالوسیکلو هگزیلیدین فسفین برای هالوزن‌های (F, Cl, Br) در حلال سیکلو هگزان $MP_2 / 6 - 31G^*$ ۲۸۱
- جدول (۴-۷۶). فواصل پیوندی (بر حسب آنگستروم) و زوایای پیوندی (بر حسب درجه) کنفورم‌های استوایی و محوری ۲- هالوسیکلو هگزیلیدین
 فسفین برای هالوزن‌های (F, Cl, Br) در حلال کربن تتراکلرید در سطح $MP_2 / 6 - 31G^*$ ۲۸۲
- جدول (۴-۷۷). فواصل پیوندی (بر حسب آنگستروم) - زوایای پیوندی (بر حسب درجه) کنفورم‌های استوایی و محوری ۲-
 هالوسیکلو هگزیلیدین فسفین برای هالوزن‌های (F, Cl, Br) در حلال کلروفرم در سطح $MP_2 / 6 - 31G^*$ ۲۸۳
- جدول (۴-۷۸). فواصل پیوندی (بر حسب آنگستروم) و زوایای پیوندی (بر حسب درجه) کنفورم‌های استوایی و محوری ۲- هالوسیکلو هگزیلیدین
 فسفین برای هالوزن‌های (F, Cl, Br) در حلال تتراهیدروفوران در سطح $MP_2 / 6 - 31G^*$ ۲۸۴
- جدول (۴-۷۹). فواصل پیوندی (بر حسب آنگستروم) و زوایای پیوندی (بر حسب درجه) کنفورم‌های استوایی و محوری ۲- هالوسیکلو هگزیلیدین
 فسفین برای هالوزن‌های (F, Cl, Br) در حلال استون در سطح $MP_2 / 6 - 31G^*$ ۲۸۵
- جدول (۴-۸۰). بررسی فواصل پیوندی (بر حسب آنگستروم) و زوایای پیوندی (بر حسب درجه) کنفورم‌های استوایی و محوری ۲-
 هالوسیکلو هگزیلیدین فسفین برای هالوزن‌های (F, Cl, Br) در حلال اتانول در سطح $MP2/6-31G^*$ ۲۸۶
- جدول (۴-۸۱). فواصل پیوندی (بر حسب آنگستروم) و زوایای پیوندی (بر حسب درجه) کنفورم‌های استوایی و محوری ۲- هالوسیکلو هگزیلیدین
 فسفین برای هالوزن‌های (F, Cl, Br) در حلال متانول در سطح $MP_2 / 6 - 31G^*$ ۲۸۷
- جدول (۴-۸۲). فواصل پیوندی (بر حسب آنگستروم) و زوایای پیوندی (بر حسب درجه) کنفورم‌های استوایی و محوری ۲- هالوسیکلو هگزیلیدین
 فسفین برای هالوزن‌های (F, Cl, Br) در حلال دی‌متیل سولفوکسید در سطح $MP_2 / 6 - 31G^*$ ۲۸۸
- جدول (۴-۸۳). فواصل پیوندی (بر حسب آنگستروم) و زوایای پیوندی (بر حسب درجه) کنفورم‌های استوایی و محوری ۲- هالوسیکلو هگزیلیدین
 فسفین برای هالوزن‌های (F, Cl, Br) در حلال آب در سطح $MP_2 / 6 - 31G^*$ ۲۸۹

- نمودار ۱-۴- تغییرات ΔE کنفورمرهای ۲- هالو سیکلو هگزیلیدین فسفین هالوژنهای F,Cl,Br در فاز گاز و در حالت Close و سطوح MP2,B3LYP, HF و سری پایه ی *G31-۶..... ۱۱۰
- نمودار ۲-۴- تغییرات ΔE_{tot} کنفورمرهای ۲- هالو سیکلو هگزیلیدین فسفین هالوژنهای F,Cl,Br در فاز گاز و در حالت Close و سطوح MP2,B3LYP, HF و سری پایه ی *G31-۶..... ۱۱۰
- نمودار ۳-۴- تغییرات ΔH کنفورمرهای ۲- هالو سیکلو هگزیلیدین فسفین هالوژنهای F,Cl,Br در فاز گاز و در حالت Close و سطوح MP2,B3LYP, HF و سری پایه ی *G31-۶..... ۱۱۱
- نمودار ۴-۴- تغییرات ΔG کنفورمرهای ۲- هالو سیکلو هگزیلیدین فسفین هالوژنهای F,Cl,Br در فاز گاز و در حالت Close و سطوح MP2,B3LYP, HF و سری پایه ی *G31-۶..... ۱۱۱
- نمودار ۵-۴- تغییرات ثابت تعادل Keq کنفورمرهای ۲- هالو سیکلو هگزیلیدین فسفین هالوژنهای F,Cl,Br در فاز گاز و در حالت Close و سطوح MP2,B3LYP, HF و سری پایه ی *G31-۶..... ۱۱۲
- نمودار ۶-۴- تغییرات ممان دو قطبی کنفورمرهای ۲- هالو سیکلو هگزیلیدین فسفین هالوژنهای F,Cl,Br در فاز گاز و در حالت Close در سطح HF و سری پایه ی *G31-۶..... ۱۱۲
- نمودار ۷-۴- تغییرات ممان دو قطبی کنفورمرهای ۲- هالو سیکلو هگزیلیدین فسفین هالوژنهای F,Cl,Br در فاز گاز و در حالت Close در سطح B3LYP و سری پایه ی *G31-۶..... ۱۱۳
- نمودار ۸-۴- تغییرات ممان دو قطبی کنفورمرهای ۲- هالو سیکلو هگزیلیدین فسفین هالوژنهای F,Cl,Br در فاز گاز و در حالت Close در سطح MP2 و سری پایه ی *G31-۶..... ۱۱۳
- نمودار ۹-۴- تغییرات طول پیوند C-X کنفورمرهای ۲- هالو سیکلو هگزیلیدین فسفین محوری و استوایی هالوژنهای F,Cl,Br در فاز گاز و در حالت Close در سطح MP2 و سری پایه ی *G31-۶..... ۱۱۳
- نمودار ۱۰-۴- تغییرات ΔE کنفورمرهای ۲- هالو سیکلو هگزیلیدین فسفین هالوژنهای F,Cl,Br در فاز گاز و در حالت Open و سطوح MP2,B3LYP, HF و سری پایه ی *G31-۶..... ۱۱۳
- نمودار ۱۱-۴- تغییرات ΔE_{tot} کنفورمرهای ۲- هالو سیکلو هگزیلیدین فسفین هالوژنهای F,Cl,Br در فاز گاز و در حالت Open و سطوح MP2,B3LYP, HF و سری پایه ی *G31-۶..... ۱۱۴
- نمودار ۱۲-۴- تغییرات ΔH کنفورمرهای ۲- هالو سیکلو هگزیلیدین فسفین هالوژنهای F,Cl,Br در فاز گاز و در حالت Open و سطوح MP2,B3LYP, HF و سری پایه ی *G31-۶..... ۱۱۴
- نمودار ۱۳-۴- تغییرات ΔG کنفورمرهای ۲- هالو سیکلو هگزیلیدین فسفین هالوژنهای F,Cl,Br در فاز گاز و در حالت Open و سطوح MP2,B3LYP, HF و سری پایه ی *G31-۶..... ۱۱۶
- نمودار ۱۴-۴- تغییرات ثابت تعادل Keq کنفورمرهای ۲- هالو سیکلو هگزیلیدین فسفین هالوژنهای F,Cl,Br در فاز گاز و در حالت Open و سطوح MP2,B3LYP, HF و سری پایه ی *G31-۶..... ۱۱۶

- نمودار ۴-۱۵- تغییرات ممان دو قطبی کنفورم‌های ۲- هالو سیکلو هگزیلیدین فسفین هالوژن های F,Cl,Br در فاز گاز و در حالت Open در سطوح HF و سری پایه ی *G31-6..... ۱۱۷
- نمودار ۴-۱۶- تغییرات ممان دو قطبی کنفورم‌های ۲- هالو سیکلو هگزیلیدین فسفین هالوژن های F,Cl,Br در فاز گاز و در حالت Open در سطوح B3LYP و سری پایه ی *G31-6..... ۱۱۷
- نمودار ۴-۱۷- تغییرات ممان دو قطبی کنفورم‌های ۲- هالو سیکلو هگزیلیدین فسفین هالوژن های F,Cl,Br در فاز گاز و در حالت Open در سطوح MP2 و سری پایه ی *G31-6..... ۱۱۸
- نمودار ۴-۱۸- تغییرات طول پیوند C-X بر حسب (انگستروم) کنفورم‌های ۲- هالو سیکلو هگزیلیدین فسفین محوری و استوایی هالوژن‌های F,Cl,Br در فاز گاز و در حالت Open در سطح MP2 و سری پایه ی *G31-6..... ۱۱۸
- نمودار ۴-۱۹- تغییرات ΔE بر حسب (کیلو کالری بر مول) کنفورم‌های ۲- هالو سیکلو هگزیلیدین فسفین هالوژن‌های F,Cl,Br در حلال سیکلو هگزان و سطوح HF, B3LYP, MP2 و سری پایه ی *G31-6..... ۱۳۶
- نمودار ۴-۲۰- تغییرات ΔE_{tot} بر حسب (کیلو کالری بر مول) کنفورم‌های ۲- هالو سیکلو هگزیلیدین فسفین هالوژن‌های F,Cl,Br در حلال سیکلو هگزان و سطوح HF, B3LYP, MP2 و سری پایه ی *G31-6..... ۱۳۶
- نمودار ۴-۲۱- تغییرات ΔH بر حسب (کیلو کالری بر مول) کنفورم‌های ۲- هالو سیکلو هگزیلیدین فسفین هالوژن‌های F,Cl,Br در حلال سیکلو هگزان و سطوح HF, B3LYP, MP2 و سری پایه ی *G31-6..... ۱۳۷
- نمودار ۴-۲۲- تغییرات ΔG بر حسب (کیلو کالری بر مول) کنفورم‌های ۲- هالو سیکلو هگزیلیدین فسفین هالوژن‌های F,Cl,Br در حلال سیکلو هگزان و سطوح HF, B3LYP, MP2 و سری پایه ی *G31-6..... ۱۳۷
- نمودار ۴-۲۳- تغییرات K کنفورم‌های ۲- هالو سیکلو هگزیلیدین فسفین هالوژن‌های F,Cl,Br در حلال سیکلو هگزان و سطوح HF, B3LYP, MP2 و سری پایه ی *G31-6..... ۱۳۸
- نمودار ۴-۲۴- تغییرات ممان دو قطبی بر حسب (دبای) کنفورم‌های ۲- هالو سیکلو هگزیلیدین فسفین هالوژن های F,Cl,Br در حلال سیکلو هگزان در سطوح HF و سری پایه ی *G31-6..... ۱۳۸
- نمودار ۴-۲۵- تغییرات ممان دو قطبی بر حسب (دبای) کنفورم‌های ۲- هالو سیکلو هگزیلیدین فسفین هالوژن های F,Cl,Br در حلال سیکلو هگزان در سطوح B3LYP و سری پایه ی *G31-6..... ۱۳۹
- نمودار ۴-۲۶- تغییرات ممان دو قطبی کنفورم‌های ۲- هالو سیکلو هگزیلیدین فسفین هالوژن های F,Cl,Br در حلال سیکلو هگزان در سطوح MP2 و سری پایه ی *G31-6..... ۱۳۹
- نمودار ۴-۲۷- تغییرات طول پیوند C-X بر حسب (انگستروم) کنفورم‌های ۲- هالو سیکلو هگزیلیدین فسفین محوری و استوایی هالوژن‌های F,Cl,Br در حلال سیکلو هگزان در سطح MP2 و سری پایه ی *G31-6..... ۱۴۰
- نمودار ۴-۲۸- تغییرات ΔE بر حسب (کیلو کالری بر مول) کنفورم‌های ۲- هالو سیکلو هگزیلیدین فسفین هالوژن‌های F,Cl,Br در حلال تتر کلرید کربن و سطوح HF, B3LYP, MP2 و سری پایه ی *G31-6..... ۱۴۳